



DX-MB 2331 – 07. Dezember 2022

DX Mitteilungsblatt

DARC-Referat DX

Editor: Andreas Salder, DK5ON

(E-Mail: dxmb@darcdxhf.de)

(<https://www.darc.de/der-club/referate/dx/>)



Wöchentlich erscheinende DX-Mitteilungen des DARC – Referates DX

DX-Aktivitäten

5U, NIGER:

Giorgio IU5HWS ist vom 30.11. unter dem Rufzeichen **5UA99WS** wieder QRV. Er arbeitet hauptsächlich in SSB auf 15m mit 100W und Multiband-Vertikal und bleibt dort bis zum 20.12.2022. QSL direkt an EA5GL oder via OQRS. IK5SRF wird seine QSOs in LoTW einfügen.



C5, GAMBIA:

Andre/ON7YK ist vom 28.11. wieder in Bijilo und in seiner Freizeit ist Andre in SSB und FT8 meistens auf 12m und 10m unter dem Rufzeichen **C5YK** QRV. In Kürze ist er auch auf 20m, 17m und 15m in CW und diversen DIGI-Modes in der Luft. Er bleibt noch bis zum 24.2.23 in Gambia. QSL direkt an ON7YK oder LoTW

EA, SPAIN:

Am 6. Dezember wird der 44. Jahrestag der am längsten bestehenden Verfassung in der Geschichte Spaniens, die am 31. Oktober 1978 von den Cortes angenommen und einen Monat und sechs Tage später in einem Referendum ratifiziert wurde, gefeiert. Am 6. Dezember 1978 gingen die Spanierinnen und Spanier an die Urnen, um in einem Verfassungsreferendum über die spanische Verfassung abzustimmen. Von den Inhalten, die in diesem Text angenommen wurden, ragen die Proklamation der Grundrechte, die öffentlichen Freiheiten, die Gewaltenteilung, die nationale Souveränität und die Dezentralisierung heraus.

Vom 3. bis zum 18. Dezember findet eine Veranstaltung statt, die von Mitgliedern des spanischen Amateurfunkverbandes von Ure de Cullera (Valencia) EA5RKX zusammen mit dem Territorialrat von Ure der Comunidad Valenciana CTCV anlässlich der Feier des 44-jährigen Bestehens der spanischen Verfassung organisiert wird. Unter dem Sonderrufzeichen **EE44C** wird auf allen Kurzwellenbändern in verschiedenen Moden zu dieser Feierlichkeit Betrieb gemacht. Das Rufzeichen wurde bisher von keinem spanischen Funkamateurer verwendet. QSL via LoTW oder eQSL. Direkte QSL via EC5WR (3\$)



EA, SPAIN:

Das Sonderrufzeichen **EH5FPM** ist vom 01. Dezember bis zum 11. Dezember auf den Bändern aktiv. Es soll an die Patronatsfeste von Mazarrón, die in der Woche oder den Wochen zu Beginn des Monats Dezember gefeiert werden, da die Schutzpatronin von Mazarrón die Virgen de la Purísima ist, deren Fest am 8. Dezember ist, erinnern. Das Festprogramm umfasst alle Arten von Aktivitäten, die hauptsächlich auf dem Festplatz oder im Festzelt stattfinden, wo die Bürger soziale, kulturelle und sportliche Aktivitäten sowie Konzerte und die Wahl der Kinder-, Jugend- und Drittparteiköniginnen genießen. Am letzten Sonntag, als Abschluss des Festprogramms, findet ein Kutschenkorso durch die Hauptstraßen des Stadtgebiets von Mazarrón statt, der zusammen mit der Proklamation und der Wahl der Königin einer der symbolträchtigsten Akte ist und von den Bürgern Mazarróns verfolgt wird. QSL via EA5JDN (B), eQSL oder LoTW



DX-MB vom 07. Dezember 2022, Nummer 2331

Die deutsche Text-Version finden Sie auf unserer Homepage:

<https://www.darc.de/der-club/referate/dx/dxmb/>





EA9, CEUTA & MELILLA:

Unter dem Rufzeichen **EA9/YL7A** oder **EA9/YL2GM** ist Yuris/YL2GM vom 8.12. bis zum 12.12. aus Ceuta auf der Kurzwelle in CW, SSB und FT8 QRV. QSL via H/c

G, ENGLAND:

Transatlantic Centenary Tests

Vom 1. Dezember 2022 bis zum 31. Dezember 2022 veranstaltet der RSGB die Transatlantic Centenary Tests (Transatlantische Hundertjahrfeier-Contest) auf den HF-Bändern zum Gedenken an den hundertsten Jahrestag der Errungenschaften der transatlantischen Amateurkommunikation während der Transatlantik-Tests, die zwischen 1921 und 1923 durchgeführt wurden.

Über die nachstehenden Links können Sie Ihr aktuelles Ergebnis abrufen und die Regeln überprüfen:

[Aktuelle Punktestände \(Club Log\)](#)

[Transatlantische Hundertjahres Kontest - Regeln](#)

Warum die Transatlantischen Hundertjahrfeier-Tests?

Am 24. Dezember 1922 war das erste Amateursignal aus Europa in Nordamerika zu hören, und zwar von der RSGB-Station (G)5WS, die im Rahmen der dritten Transatlantik-Tests in Wandsworth im Süden Londons eingerichtet worden war.

Im Gegensatz zu den Tests in den 1920er Jahren, die hauptsächlich aus Einweg-Kommunikation bestanden, werden die Tests 2022 die weltweite Zwei-Wege-Kommunikation mit britischen und CD-basierten Stationen fördern. Wir wollen den Amateurfunk im Jahr 2022 in Szene setzen, um diesen Meilenstein in der Geschichte des Hobbys zu feiern.

Spezielle Stationen werden von RSGB-Mitgliedern und -Clubs vom Vereinigten Königreich aus aktiviert, wobei Original-Rufzeichen des RSGB aus den 1920er Jahren verwendet werden, jedoch mit modernster Funkausrüstung.

Das Club Log Team hat sich freundlicherweise bereit erklärt, die Infrastruktur für die Tests zur Verfügung zu stellen.

Im Vorgriff auf diese Hundertjahrfeier hat die RSGB mit Unterstützung von Ofcom (der britischen Lizenzbehörde) fünf Rufzeichen aus den 1920er Jahren erneuert:

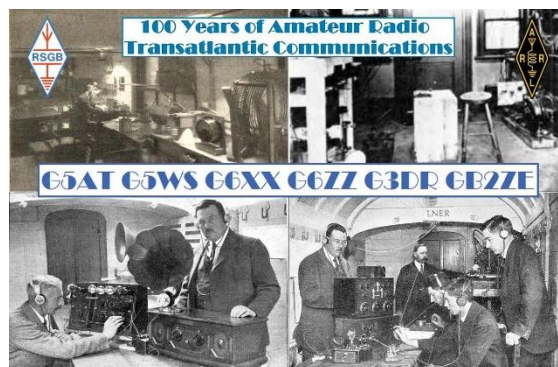
- **G5WS**, verwendet für die Tests von 1922 - "der Erste, der hinüberkommt".
- **G5AT**, verwendet für die Tests 1923
- **G6XX**, verwendet für die Tests 1923
- **G6ZZ**, verwendet für die ersten Amateurtests in einem fahrenden Eisenbahnzug im Jahr 1924
- **G3DR**, Rufzeichen für die schottischen Highlands - **GM3DR**.

Diese historischen Rufzeichen werden von RSGB-Mitgliedern und -Clubs unter **G5WS**, **G5AT**, **G6XX**, **G6ZZ** und **G3DR** (England), **GM5WS** (Schottland), **GW5WS** (Wales), **GU5WS** (Guernsey), **GD5WS** (Isle of Man), **GJ5WS** (Jersey) und **GI5WS** (Nordirland) aktiviert.

Für QSOs im Zeitraum vom 1. Dezember 2021 bis 31. Dezember 2022 ist eine Transatlantik-Gedenk-QSL-Karte erhältlich.

Bitte beantragen Sie Ihre Karte über M00XO (O). Wir sind nicht in der Lage, QSL-Anfragen über das Büro zu beantworten.

Die Logs werden in LoTW und ClubLog hochgeladen.



OH, FINLAND:

Zwischen dem 28. November und dem 26. Dezember ist die Market Reef DX Association OH9A Gruppe mit dem speziellen Weihnachtsrufzeichen **OG1XMAS** auf den Bändern in allen Moden in der Luft. QSL via ClubLog OQRS (B) oder (d) mit 3\$ und SAE.

XW, LAOS:

Vincent/**XW4KV** plant eine Aktivität auf dem QO-100 in 12 Großfeldern (Grids) vom 02.12. bis 23.12. und ist auch auf der Kurzwelle auf 40m, 20m, 15m und 10m vom 13.12. bis 18.12. in der Luft. Weitere Informationen und Details unter <http://www.f4bkv.net> im DXpedition Teil. QSL via F4BKV (d/B (OQRS)) oder LoTW



VP8, ANTARCTICA:

Seba/SQ1SGB erreichte die antarktische Basis Halley VI am 1.12. und wird bis 1.2.23 in seiner Freizeit auf 20 und 40m unter dem Rufzeichen **VP8/SQ1SGB/p** in SSB und FT8 arbeiten. QSL direkt an EB7DX. Unter dem Link <https://www.bas.ac.uk/polar-operations/sites-and-facilities/facility/halley/> kann man einen Eindruck über die Station gewinnen und es gibt eine sehr schöne 3D Führung durch die Station.

XT, BURKINA FASO:

Harald/DF2WO ist wieder nach Ouagadougou zurückgekehrt und bis zum 18.12. in CW, SSB, Digital und auch über den Satelliten QO-100 unter dem Rufzeichen **XT2AW** in der Luft. Hauptziel der Reise ist aber für viele Kinder den Weihnachtsmann zu spielen. QSL über M0OXO (OQRS), LoTW oder direkt

ZA, ALBANIA

Burkhard/DL3KZA ist meist in FT8 von 40m bis 17m unter dem Rufzeichen **ZA/DL3KZA** QRV. Der Betrieb dauert noch bis zum 13.12. QSL via H/c (d/B)

ZB2, GIBRALTAR:

Yuris/YL2GM wird am 6.12. bis zum 8.12. unter dem Rufzeichen **ZB2/YL7A** aus Gibraltar auf 6m in FT8 QRV sein. QSL via YL2GM

DX News

TN, CONGO:

Ein Tschechisches Expeditionsteam (CDXP), dass eine DX-Expedition in den Kongo unter dem Rufzeichen **TN8K** für 7.-20.1.2023 plant, gab bekannt, dass sie ein eingezäuntes QTH mit Abmessungen von etwa 6000 m² in flachem Gelände etwa 500 m vom Meer entfernt gemietet hat. Der Ort hat jedoch keinen öffentlichen Strom. Deshalb wird der gesamte Betrieb mit Generatoren durchgeführt. Der geschätzte Dieselverbrauch beträgt etwa 1400 Liter bei einem Preis von etwa 1 € oder 1 USD pro Liter. Das Team freut sich über jeden Zuschuss.





Zusammengestellt von Andreas, DK5ON
(E-Mail: dk5on@darf.de)

IOTA-Vorzugsfrequenzen

CW: 28040 24920 21040 18098 14040 10114
7030 3530 kHz

SSB: 28560 28460 24950 21260 18128 14260
7055 3760 kHz

AF-049, 3B8, MAURITIUS (MAURICE)

ISLAND:

Gildas/F6HMQ und Michel/F6GWV sind vom 28.11. unter den Rufzeichen **3B8/F6HMQ** und **3B8/F6GWV** in SSB und FT8 auf 40m bis 10m QRV. Sie bleiben auf der Insel bis zum 14.12. QSL an ihre H/c's.

AS-013; 8Q, MALDIVE ISLANDS:

Elena ist unter **8Q7CA** vom 13. bis zum 22. Dezember auf Nalaguraidhoo Island, Malediven und ist von 10m bis 80m in CW, SSB und FT8 QRV. QSL via ClubLog (OQRS) oder R6CA (d/B)

AS-140; S2, KHULNA / BARISAL

REGION group:

Vom 10. bis 16. Dezember ist ein Team von Funkamateuren aus Bangladesch (Manju/S21AM, Rabby/S21RC, Dipu/S21D, Omi/S21OM, Shafin/S21TG, Zubayer/S21BK, Mohsinuzzaman/S21MK und Abir/S21IT) unter dem Rufzeichen **S21DX** von der Insel Dhal Char QRV. Sie planen mit 3 Stationen in SSB und FT8 auf der Kurzwelle und mit einer Station auf dem QO-100 in der Luft zu sein. QSL direkt via EB7DX: David Lianez Fernandez, P.O. Box 163, 21080, HUELVA, Spanien, LoTW oder ClubLog. Mehr Informationen zu der Aktivität unter <https://s21dx.org/>



NA-097; 6Y, JAMAICA:

Seit dem 1. Dezember bis zum 11. Januar 2023 wird Lester/W8YCM unter **6Y8LV** und **6Y/W8YCM** von der Insel Jamaika ein interessanter QSO-Partner sein. Er verbringt im „Coral Seas Resort am Negril Beach in Westmorland Parish auf Jamaika seinen Urlaub. QSL nur direkt an Lester Veenstra, 452 Stable Lane, Keyser WV 26726 USA, WV 26726 Jamaika



OC-007; VK9W, WILLIS ISLANDS:

Sands/VK4WXW (VU2WXW) ist seit Oktober beruflich auf Willis Island. Das Australian Bureau of Meteorology unterhält eine Wetterüberwachungsstation auf Willis Island. Die Station wurde 1921 eingerichtet und dient als Zyklon-Frühwarndienst für den Bundesstaat Queensland. Sands ist einer von vier Personen auf der Station, die alle sechs Monate ausgewechselt werden. Sands ist seit Oktober auf der Station und wird bis April 2023 vor Ort sein. Er nutzt das Rufzeichen **VK9WX** und ist viel in SSB auf 20m zu hören. Seine Station auf Willis Island ist ein Yaesu FT-891 Transceiver mit einer DX Commander Classic Multiband Vertikalantenne. QSL Informationen sind nicht bekannt.



**SA-055; LU, BUENOS AIRES
(DELTA DEL PARANA) PROVINCE group:**
Capi/LU1CAP wird vom 8. bis zum 11.12. von der Isla Martin Gracia auf 80m bis 10m in SSB und FT8 unter dem Rufzeichen **LP1A/E** QRV sein. QSL an EA7FTR (d/B) oder LoTW



Informationen geplanter Insel - Aktivitäten

CY0S, SABLE ISLAND:



NEWS UPDATE - Am Montag, den 21. November, hat Sharon Taratula von der ARRL die DXpedition **CY0S** von Sable Island im März 2023 für DXCC vorgenehmigt. Das CY0S Team hat der ARRL das offizielle Schreiben des Parks Canada-Sable Island Managers zur Genehmigung der DXpedition vorgelegt. Sable Aviation erteilte die erforderliche Landeerlaubnis, und das Team legte die CY0S-Lizenzgenehmigung vor. Eine Anmerkung: Aufgrund der stets unsicheren Wetterlage auf und um Sable Island wurde dem Team für den

Fall von Verzögerungen der Zeitraum vom 20. März bis 5. April genehmigt. Die geplanten Daten für die DXpedition sind nach wie vor der 20. bis 29. März 2023, so wie es zuvor angekündigt worden war. Das Team hat die QRZ-Seite für CY0S eingerichtet und in Betrieb genommen. Aktualisierungen der QRZ-Seite werden in den kommenden Wochen vorgenommen.

Die Gesamtkosten für diese DXpedition belaufen sich jetzt auf 70.000\$. Sowohl Sable Aviation als auch Vision Air Services haben mitgeteilt, dass es im Jahr 2023 eine Preiserhöhung für die Flüge zur Insel geben wird. Man hofft, diese neuen Kosten im Dezember zu erfahren. Bitte denken Sie daran, dass jede Spende für die CY0S DXpedition von einem anonymen DX'er verdoppelt wird. Eine Spende von 100 Dollar wird automatisch verdoppelt und ergibt insgesamt 200 Dollar! Diese Verdoppelung gilt bis zu unserer Abreise nach Sable Island am Montag, 20. März 2023. Infos unter:

<https://t-rexsoftware.com/cy0s/index.htm>

FTW, CROZET ISLAND:

Thierry F6CUK hat die Erlaubnis erhalten, die Insel zu besuchen und das Schiff Marion Dufresne fährt am 8.12. von der Insel La Réunion ab. Um die Vorräte aufzufüllen, wird es auf der Insel Tromelin anhalten. Die Ankunft auf Crozet wird um Weihnachten herum erwartet. Thierry bleibt bis zum 26.3. auf der Insel. Mit einem Mann, der eine Art Wirtschaftler auf der Insel ist, bespricht er gerade die Lage der Antennen und seines „Hamshacks“. Es gibt noch keine Probleme. Er wird zwei TS-590 mit PA 1010 (500W) zur Verfügung haben. Über die Antennen ist noch nichts entschieden. Das Rufzeichen wurde vergeben, wird aber erst kurz vor dem Betrieb veröffentlicht, damit es nicht von Piraten missbraucht wird.

3Y0J DXpedition zur Insel Bouvet (geplant Januar 2023):



Folgende Information von Ken/LA7GIA erreichte uns:

„Die Amateur Radio DXpeditions (ARD) macht große Fortschritte bei der Vorbereitung unserer **3Y0J-DXpedition** zur Insel Bouvet! Mit nur noch 2 Monaten bis wir auf Bouvet an Land gehen, nähern wir uns dem November, der einen weiteren wichtigen Meilenstein für uns bringen wird!“

Am 1. Dezember 2022 werden wir 30 % des Schiffskontrakts bezahlen - das ist ein bedeutender Betrag! Gleichzeitig weist unser geplantes Budget einen negativen Saldo von 35.000 \$ auf, was bedeutet, dass wir Gefahr laufen, die Operatorgebühren erhöhen zu müssen. Die Operatoren haben für dieses Abenteuer zur Aktivierung von Bouvet bereits jeweils etwa 25.000 \$ gezahlt. Da uns nur noch 2 Monate bleiben, brauchen wir dringend Ihre Unterstützung, um das Budget vor unserer Abfahrt am 13. Januar von Port Stanley aus auszugleichen. Im schlimmsten Fall müssen die Operatoren den negativen Saldo ausgleichen, um die Rechnungen zu bezahlen! Trotzdem sind wir fest entschlossen, nach Bouvet zu fahren! Mal sehen, ob wir die Lücke schließen können!

Wir haben in den letzten 15 Monaten enorme Anstrengungen unternommen, um uns auf diese Reise vorzubereiten. Wir haben die DXpedition 3YØJ auf ein Niveau gebracht, das unserer Meinung nach erforderlich ist, um den notwendigen Erfolg zu erzielen. Und wir haben in den letzten Monaten erhebliche Verbesserungen zu Ihrem Nutzen vorgenommen.

Unter anderem haben wir vor kurzem einen Kletterkurs besucht, um uns auf die rauen vertikalen 90-Grad-Klettereien vorzubereiten, die auf Bouvet zu erwarten sind. Dieses Wissen wird uns in die Lage versetzen, einen verletzten Mitarbeiter sicher aus dem Lager zu retten. Nächste Woche bereiten wir uns auf die Teilnahme an einem Gletscherkurs vor, um für eine 300 m lange Gletscherüberquerung am Bouvet-Gletscher zu trainieren. Während des gesamten Prozesses seit Juni 2021 haben wir uns mit einem erfahrenen norwegischen Expeditionsleiter und Segler, Peter, zusammengetan, der ein unglaubliches Wissen und praktische Erfahrung in der Unterstützung von Expeditionen hat, um in den schwierigen Gewässern der Antarktis erfolgreich zu sein! Peter leitet die Zodiac-Operation und das Beladen des Schiffes. Seine Erfahrung ist ein großer Gewinn für uns! Wir haben mit ehemaligen NPI-Mitarbeitern zusammengearbeitet, die Bouvet mehr als 60 Mal besucht haben. Mit all diesen Vorbereitungen befinden wir uns nun am Ende eines langen Marathons nach 2,5 Jahren Planung! Mit all dem Fachwissen im Team sind wir zuversichtlich, was das Endergebnis angeht, und das Team ist fest entschlossen, nach Bouvet zu fahren!

Sie können sich darauf verlassen, dass wir alles tun werden, um Ihnen das dringend benötigte ATNO zu geben!

Verfolgen Sie unsere Fortschritte und Pläne auf unserer Website und den Facebook-Seiten von 3YØJ:

<http://www.3y0j.no>

<https://www.facebook.com/groups/3093983840726129>

Danke, Oslo 05. November 2022

Ken Opskar LA7GIA, Ko-Leiter

Rune Oye LA7THA, Ko-Leiter

Erwann Merrien LB1QI, Ko-Leiter“

WWFF-Aktivitäten



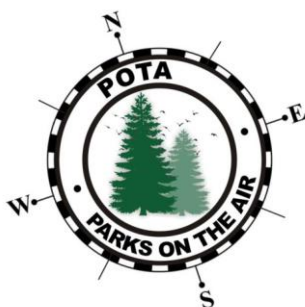
FFF-1723, Ensemble des pelouses seches de la Cluse d'Annecy:

Am 7. oder 8. Dez von 1245 UTC bis 1405 UTC ist Jean Marie/F5NLX unter F5NLX/p auf der Kurzwelle in SSB und CW QRV. Die Aktivität hängt sehr stark vom Wetter ab. QSL via F5NLX (d/B) oder eQSL

FFF-1731, Pelouses seches de la Cluse d'Annecy:

Zu der oben gemeldeten Aktivität ist Jean Marie/F5NLX nachmittags am 7. oder 8.12. von 1400 UTC bis 1520 UTC auf den Kurzwellenbändern in CW und SSB QRV. QSL via F5NLX (d/B) oder eQSL

POTA-Aktivitäten



Parallel zu dem WWFF-Programm gibt es auch ein „Parks On The Air® (POTA)“ Programm. Dieses beinhaltet auch Referenzen der Parks und ein Diplomprogramm. Mehr Informationen auf der Homepage <https://parksontheair.com/>

K-0864, Steamtown National Historic Site:

Bob/WA3TVH plant vom 07.12. 1430 UTC bis zum 17.12. 1600 UTC auf 40m und 20m in SSB aus dem Steamtown National Historic Site QRV zu sein. QSL via WA3TVH (d) SASE, QRZ, LoTW oder ClubLog, kein Büro

LUZERNE COUNTY, PENNSYLVANIA U.S.A.

WA3TVH

RADIO _____ CONFIRMING QSO OF _____ 20 _____

AT _____ UTC UR _____ MHZ CW SSB SIGS RST _____

TRANSCIVER _____ W. INP. ANTENNA _____

PSE QSL TNX

73

Grid: FN21

Bob Wendoloski
31 Old Mill Road
Lafin, PA 18702

Cheap QSL Cards Print

K-0717, Fredericksburg and Spotsylvania National Military Park:

Die Stafford Amateur Radio Association ist mit ihrem Club Rufzeichen **WS4VA** und dem Sonderrufzeichen **W4F** zur Feierlichkeit des „160th Anniversary of the Civil War battle of Fredericksburg, VA“ aus dem Fredericksburg & Spotsylvania National Military Park am 10.12. von 1230 UTC bis 2130 UTC auf 40m bis 10m inkl. den WARC Bändern in SSB, CW und FT4/8 QRV. QSO's zählen auch für **WWFF KFF-0717**. Es gibt ein digitales PDF-Zertifikat (Info: <https://www.qrz.com/db/W4F>). QSL Karten werden nicht benötigt.

VE-5084, South March Highlands Conservation Forest Natural Area:

Am 10.12. plant Thomas/VA2EPR von 1900 UTC bis 2100 UTC auf den HF Bändern in CW und SSB QRV zu sein. QSL via VA2EPR (d/B)

ON-0521, VIROIN-HERMETON

FOTA National Park:

OP8L ist vom 12.12. 1500 UTC bis zum 16.12. 1000 UTC auf 20m und 40m mit einem FT-DX10 mit Batterie Versorgung und einer Leistung von 40W mit einer ATAS-25 Vertikal Antenne und einem endgespeisten Langdraht von EZWire. QSL via QSL Manager ON8WTF (d), QRZ.com, LoTW oder eQSL



KW Conteste

Termine Dezember 2022:

- | | |
|-----------|--|
| 10/11.12. | ARRL 10m Contest
0000 - 2359 UTC
CW/SSB
10m |
| 10/11.12. | Int. Naval Contest
1600 - 1559 UTC
CW/SSB |
| 26.12. | DARC Weihnachtswettbewerb
0830 - 1059 UTC
CW/SSB |

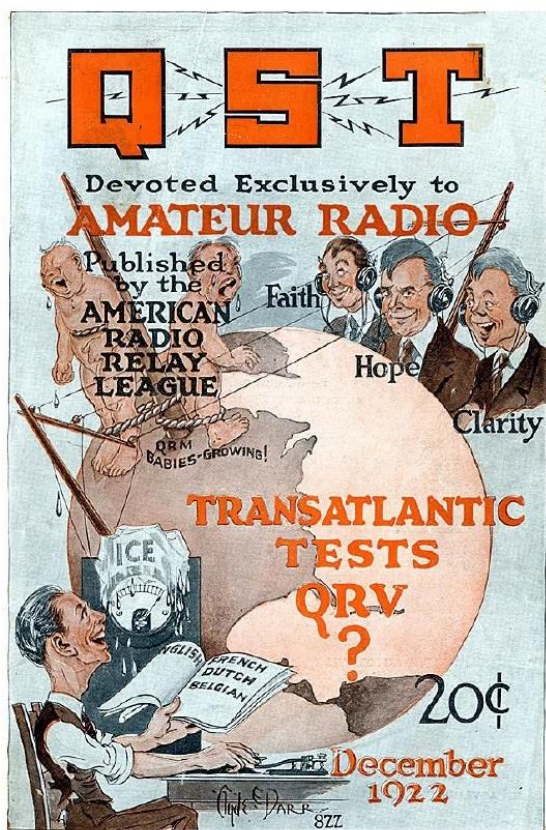
Die Ausschreibungen finden Sie ebenfalls auf <http://www.darc.de/der-club/referate/conteste/> sowie mittels der Contest Termin-Tabelle in der CQ DL 12/2022 auf Seite 62.

Kalender

von	- bis	DX	DX-MB			
01.07.		3A/F6EXV	2308	01.01. - 31.12.	DB5ØAFZ	2283
01.07.		3A/PB8DX	2308	01.01. - 31.12.	DF4ØBGK	2283
28.11.	14.12.	3B8/F6HMQ	2331*	20.02. - 19.02.23	DKØHN	2285
28.11.	14.12.	3B8/F6GWV	2331*	01.10. 31.12.	DKØSY	2322
20.01. -		3B8HH	2285	01.01. - 31.12.	DKØ5ØBN	2283
		3C3CA	2322	01.01. - 31.12.	DK65DEL	2285
19.11.	20.12.	3D2AG	2329	01.01. - 31.12.	DLØHO	2284
25.03.		3X1A	2303	26.01. - 25.01.23	DLØOF	2288
26.11.	11.12.	3Z95PRK	2329	07.05. 06.05.23	DL1640Y	2312
08.22		5H2JK	2313	01.01. - 31.12.	DL6ØLINDAU	2283
25.11.	13.12.	5H3FM	2330	01.01. - 31.12.	DL7ØWOB	2283
23.11.		5H3SE	2329	01.01. - 31.12.	DL73AFUG	2283
21.09.	31.12.	5H8HZ	2330	01.01. - 31.12.	DL75DRG	2283
18.04.		5PØWARD	2297	01.01. - 31.12.	DL75HIL	2282
17.06.		5R8BM	2308	01.01. - 31.12.	DL75HES	2291
30.11.	20.12.	5UA99W	2331*	01.01. - 31.12.	DL75OBY	2285
16.11.		5V7JA	2328	01.01. - 31.12.	DL75RLP	2288
01.12.		5WØRS	2330	01.01. - 31.12.	DP44N44T	2284
01.05.		5X7W	2301	31.12.	DR100RY	2320
01.01. - 31.12.		6F6F	2284	01.10. 30.09.23	DR45HAAN	2330
16.06.		6O1OO	2307	01.01. - 31.12.	DR5ØBAWA	2305
27.11.	11.01.2023	6Y5/W8YCM	2330	08.12. 12.12.	EA9/YL7A	2331*
01.12.	11.01.2023	6Y8LV	2331*	08.12. 12.12.	EA9/YL2GM	2331*
06.2022		7P8AB	2306	03.12. 18.12.	EE44C	2331*
06.2022		7P8NB	2306	01.12. 25.12.	EG3HAM	2330
01.08.		7Q7EMH	2314	01.12. 31.12.	EH6FPM	2331*
	31.03.23	8J1H90T	2330	01.01. - 31.12.	EI9ØIRTS	2282
13.12.	22.12.	8Q7CA	2331*	01.09. 01.04.24	FH4VVJ	2314
22.05.		9G5XA	2304	01.09. 01.04.24	FH4VVK	2317
	- 06/2022	9J2MYT	2279	15.10.	FJ4WEB	2324
01.10.		9J2SEU	2322	07.22	FO5QS	2312
11/21 -		9N7AA	2306	31.12.22	FS/KC9FFV	2298
25.04.		9N7CI	2300	03.23	FT4YM	2324
25.04.		9N7WE	2300	- 02.2024	FW1JG	2287
15.11.	31.12.	9M100SK	2329	01.01. - 31.12.	GB1ØØBBC	2282
19.11.	19.12.	A60FIFA	2329	14.01. - 23.12.	GB19ØØHA	2285
19.11.	19.12.	A60FIFA/1	2329	14.01. - 23.12.	GB19ØØHW	2285
19.11.	19.12.	A60FIFA/2	2329	01.01. - 31.12.	H32AT	2290
01.10.		A65/DL2RMC	2321	06.12. 19.12.	H44SHD	2330
18.10.	18.12.	A72FWC	2324	01.01. - 31.12.	HB5ØSH	2283
18.10.	18.12.	A71FIFA	2324	01.07. 31.12.	HB75SG	2308
18.10.	18.12.	A72FIFA	2324	01.01. - 14.12.	HF9FIELD	2282
18.10.	18.12.	A73FIFA	2324	26.11. 11.12.	HF95PRK	2329
18.10.	18.12.	A74FIFA	2324	15.03. - 15.03.23	HG2ØØAN	2293
18.10.	18.12.	A75FIFA	2324	15.03. - 15.03.23	HG2ØØDO	2293
18.10.	18.12.	A76FIFA	2324	15.03. - 15.03.23	HG2ØØEF	2293
18.10.	18.12.	A77FIFA	2324	15.03. - 15.03.23	HG2ØØIR	2293
18.10.	18.12.	A78FIFA	2324	15.03. - 15.03.23	HG2ØØOT	2293
25.11.	13.12.	AU2JCB	2329	15.03. - 15.03.23	HG2ØØPS	2293
25.11.	13.12.	AU3JCB	2329	25.07. 15.05.23	HK3JCL	2307
25.11.	13.12.	AU5JCB	2329	23.11. 13.03.23	HR5/F2JD	2329
11.07.	30.11.	BXØQSL	2309	06.11. 02.04.23	HSØZME	2326
28.11.	24.02.23	C5YK	2331*	01.12. 31.12.	II1MM	2330
01.05.		C83YT	2301	06.2023	J28HJ	2311
		C91CCY	2322	08.22	J28RC	2315
18.11.	20.12.	CN22CWQ	2329	01.10. 15.12.	J5GQA	2330
05.12.	18.12.	CN22JIM	2330	01.10.	J5JUA	2323
				17.11. 15.12.	JI3DST/6	2328
				17.11. 15.12.	JJ5RBH/6	2328



17.11.	15.12.	JR8YLY/6	2328
14.05.		K4RC	2301
01.01. - 31.12.		LA1ØØB	2283
08.12.	11.12.	LP1A/E	2331*
	- 31.12.	LZØ1MLN	2277
01.01. - 31.12.		LZ1GLASS	2285
23.04.		OE22M	2298
28.11.	26.12.	OG1XMAS	2331*
01.03. - 31.12.		OR1ØØRCBE	2290
03.11.	03.12.	OT5IDPD	2327
01.01. - 31.12.		OZ5ØDDXG	2282
01.12.	31.12.	PA22XMAS	2330
01.12.	31.12.	PD22SANTA	2330
01.12.	31.12.	PD23HNY	2330
01.01. - 31.12.		PI75LIM	2287
22.10.	09.12.	PJ7PL	2324
19.11.	18.12.	PV22CUP	2327
01.01. - 31.12.		PX2Ø22BR	2282



24.10.	24.03.23	RI1ANU	2324
		RI41POL	2321
01.05.		S035S	2301
10.12.	16.12.	S21DX	2331*
01.01. - 31.12.		SK50EI	2284
01.01. - 14.12.		SN9FIELD	2282
26.11.	11.12.	SN95PRK	2329
26.11.	11.12.	SO95PRK	2329
01.01. - 14.12.		SP9FIELD	2282
26.11.	11.12.	SP95PRK	2329
26.11.	11.12.	SQ95PRK	2329
01.12.	31.12.	SX338M	2330
30.11.	05.12.	T88RC	2330

01.07.	31.12.	TI1GOAL	2313
15.01. - 31.12.		TMØCR	2286
10.12.	21.12.	TM200LP	2330
27.12.	29.12.	TM200LP	2330
26.12.	30.12.	TM8AB	2330
02.12.	04.12.	TM8AB	2330
03.09.	16.12.	TM8GE	2320
31.10.	15.12.	TM90GF	2330
		TO5Z	2328
30.11.	09.12.	TO9W	2329
	06/2023	TT8SN	2320
		TZ4AM	2311
21.11.	01.12.	V48A	2328
18.10.		V55WH	2324
06.2022		V73MS	2306
31.10.		V85NPV	2329
01.01. - 31.12.		VK9ØABC	2287
	04/2023	VK9WX	2331*
2.1.23	31.03.23	VP2MDX	2300
		VP5MA	2302
01.12.	01.02.2023	VP8/SQ1SGB/p	2331*
		VP8AAE	2320
23.09.	12.22	VP8DLB	2324
14.05.		W1M	2301
	14.01.23	WA5LFD/p	2330
04.12.	09.12.	XF1S	2330
	- 31.12.	XI0X	2296
	18.12.	XT2AW	2331*
02.12.	23.12.	XW4KV	2331*
21.08.		XZ2A	2316
25.06.		XZ2B	2309
	12/2025	YB8QT	2330
01.12.	09.12.	YJ0CA	2330
01.09.		Z6/KN4PRE	2317
28.08.		ZA/DG7PX	2317
	13.12.	ZA/DL2KZA	2331*
23.08.		ZA/Z35M	2315
25.08.		ZL4/VE6TC	2318
15.07.		ZL7/ZL1VV	2311
	31.12.	ZL75WARC	2325

* = neu oder aktualisiert
 .. = und andere Calls

QSL-Informationen

3A/F6EXV	via	F6EXV
3A/IR1DCI	via	IK1GPG (B)
3A/PB8DX	via	PB8DX
3A/DL2SBY	via	DL2SBY (d), (L)
3A3A		(L)
3A6M	via	F6EXV ((O)), (B), (L)
3B8/DK6SP	via	DK6SP (B), (L)
3B8/KX7M	via	F5CWU (B)
3B8X	via	PFØX (B), (L)
3B9/MØCFW	via	(L)

3C3CA	via	TA2OM (B), (L), (e)	7X2VFK	via	7X2DD (d)
3X1A	via	F1TMY QSL nur (C)	7Y19MG	via	(d), (e)
3Z7ØFI	via	SP9JPA (B)	7Z1VD	via	EA5GL (B), (L)
3Z95PRK	via	SP9MRP (B)	7Z92ND	via	HZ1SAR (d)
4D3X	via	W3HNK (d), (L)	8A64BALI	via	YH9AA (d), (e)
4K7DK	via	DK1DKE (B)	8J1H9ØT	via	JARL-Bureau, (L), (e)
4L1FP	via	K6VHF (B), (L), (e)	8J3S	via	JK3IJQ (B)
4L8A	via	MØOXO (B-(O)), (L)	8N2TY	via	JARL-Bureau, (L), (e)
4S7RO	via	F6BFH (B), (*)	8P9NF	via	EA4NF (L)
4U1A	via	UA3DX (B), (L)	8S0C	via	SM0MPV (B), (L)
4W/JH2EUV	via	JH2EUV (B), (L)	8S9J	via	SM5TOG (nur (L))
4W/VK1AO	via	VK1AO (L), (e)	8Q7AG	via	IZ2DPX (B), (L)
4X6FR	via	4X6OM	8Q7QE	via	EA5Q (B), (L)
5A1HA	via	F6BFH (B), (*)	8Q7TD	via	IK1TDD (B), (L)
5A1AL	via	5A1AL ((O)), (L)	8Z92ND	via	HZ1SAR (d)
5B/NP2KY	via	5B-Bureau	9A/DL7MDX	via	DL7MDX (B), (L)
5B4AQC	via	DK6SP (B), (L)	9A/F5SNJ	via	F5SNJ (nur (L))
5B4AMM	via	UT5UDX (L), (e)	9A/W8FNG	via	W8FNG (d), (L)
5C4ØDN	via	CN8DN (d)	9A/S50IPA	via	S50IPA
5E5R	via	CN8YZ (L), (e)	9A/SQ9CNN	via	SP9FIH (B), (L)
5H2JK	via	DL8AAI (B)	9A1WFF/p	via	9A2MF (B)
5H3FM	via	HB9DSP (B), (L)	9A2Ø22ICM	via	9A6KX (d), (L), (e)
5H3SE	via	(L)	9A22YOTA	via	9A1A (B), (L)
5H8HZ	via	TA1HZ (d), (L), (e)	9A24ZRF	via	9A7ALZ (B), (L)
5KØT	via	LU1FM (d), (L), (e)	9A5Y	via	9A7W (B), (L)
5K0YD	via	IK2DUW (d)	9A8GHJ/p	via	OE7GHJ (B)
5N/KE5GUR	via	KE5GUR (d), (e)	9H/IV3CTS	via	YT4RA (L), (e)
5P1KZX	via	OZ1KZX (B), (L), (e)	9H6LH	via	DL1KJ (B)
5P1OT	via	SP1OT (B)	9H6QE	via	9H1MRC (d)
5P5Q	via	OZ9XU (B), (L), (e)	9J2SEU	via	OE3SEU (L)
5P5T	via	OZ1FDH (L), (e)	9K2OW	via	EC6DX (d), (L)
5P6MJ	via	OZ6MJ (L), (e)	9K9KSA	via	EC6DX (d), (L)
5P8VW	via	DJ8VW (B), (L), (e)	9M100SK	via	9W2TXL (d)
5Q5CW	via	DL5CW (B), (L)	9M59SD	via	9W8KIF (d)
5Q7DX	via	PA7JWC (B), (L)	9M6NA	via	JE1JKL (B), (L)
5R8CG	via	DL2AWG (B), (L)	9N7AA	via	S57DX (d), (L)
5R8FG	via	IZ6BRJ (B)	9V1ZV	via	EA5GL (B), (L), (e)
5R8MM	via	DL2AWG (B), (L)	9X5GG	via	F6BFH (B), (*)
5R8PA	via	DL2AWG (B), (L)	A35JP/p	via	JAØRQV (B), (L)
5R8WG	via	DL2AWG (B), (L)	A43KSA	via	EC6DX (d), (L)
5R8WP	via	DL2AWG (B), (L)	A43UAE	via	A47RS (B), (L), (e)
5R8AL	via	G3SWH (d), (L)	A6ØA	via	EA7FTR (d), (L)
5WØRS	via	IT9YVO (d)	A60FIFA/2	via	EA7FTR
5X3R	via	IK2DUW	A65/DL2RMC	via	DL2RMC (B), (L)
5X4E	via	IQ3CO (B); IZ3ZLG (d)	A65DR	via	N4GNR (d), (L)
6D5C	via	XE1H (nur (L))	A61ZX	via	IZ8CLM (B), (L), (e)
6Y5/4S7RO	via	F6BFH (B), (*)	A62A	via	EA7FTR und (L)
6Y5/W8YCM	via	W8YCM (d)	A71AU	via	F6BFH (B), (*)
6Y6ØHM	via	EA5GL (B)	A71FIFA	via	A71A (B), (L)
6Y8LV	via	W8YCM (d)	A72FIFA	via	QARS-Bureau, (L)
7A1B	via	EA7FTR (d), (L)	A73FIFA	via	A71A (B), (L)
7G1RL	via	HA3JB (d), (L)	A74FIFA	via	QARS-Bureau, (L)
7Q5RU	via	R7AL (L)	A75FIFA	via	A71A (B), (L)
7Q6M	via	K6ZO (L)	A76FIFA	via	QARS-Bureau, (L)
7R19MG	via	(d), (e)	A77FIFA	via	QARS-Bureau, (L)
7R7A	via	7X2VFK (d)	A78FIFA	via	QARS-Bureau, (L)
7S7SOP	via	SM7RYR (nur (L))	A722FWC	via	A71A (B), (L), (e)
7T60A	via	7X2DD (d)	A71XX	via	EC6DX (d), (L)
7X2GK	via	IK2DUW (d), (L)	A91ARS	via	EC6DX (d), (L)

A91FTDMC	via	EC6DX (d), (L)	D4Z	via	IK2NCJ (B)
A91OMA	via	EC6DX (d), (L)	D6ØAE	via	F5GSJ (B), (L)
A44A	via	A47RS (B), (L)	D73G	via	HL4CCM (B), (L), (e)
AHØ/WA7WJR	via	WA7WJR (d), (L)	DA0HQ	via	DL5AXX
AH2/WA7WJR	via	WA7WJR (d), (L)	DA0RR	via	DJ5BWD
AM100RCE	via	EA4URE	DAØT	via	DL7AT (B), (L)
AM23ØCW	via	EA2CW (L), (e)	DA22LGS	via	DL7ACN (B)
AM30FEDIEA	via	EA3RKF (d), (e)	DA2W	via	ON3UN (B)
AM33ØHLM	via	EA3HLM (nur L & (e)	DFØSAX	via	DL3DXX (B), (L)
AM33ØRKM	via	EA3RKM (L), (e)	DK05ØBN	via	DK5PD (B), (L), (e)
AM38SDC	via	EA1AUM (B), (L), (e)	DK0AJ	via	DH4FE
AM4ØRCH	via	EA3RCH (B), (L), (e)	DK0DFF	via	DL7AFS (B)
AM5ØØPCM	via	EA7URF (B), (L), (e)	DK0GYB	via	DK2AJ (B), (e)
AM630VQ	via	EA6VQ (B), (L)	DK0SM	via	DL6OCH
AO12ØDRI	via	EA7AMB (B), (e)	DK5T/LH	via	DK5ON (d), (B), (L)
AP2KN	via	F6BFH (B), (*)	DL0AH	via	DG5YHE
AP2TN	via	N4BAA (World), RW6HS (Russia, d), (L)	DL0GEO	via	DL2YAK (B), (L), (e)
AP75HA	via	AP2HA (L)	DL0JBB	via	DL6YAO (B), (e)
AP75HAS	via	VU2SMS (d)	DL164ØY	via	DL3CQ (B), (e)
AP75SD	via	EA5ZD (B: nur Mail), (e)	DL2ØSOTA/p	via	DL6GCA
AU2JCB	via	VU2DSI (d), (e)	DL6ØLINDAU	via	DL1CBQ (B)
AU75JRO	via	VU2JRO (d), (L), (e)	DL/AD8FJ	via	E25KAE (B)
AU75SMS	via	VU2SMS (d), (L)	DL/G4OBK/p	via	G4OBK (d), (L)
AP75TN	via	RW6HS (d)	DL/HA7UL/p	via	HA7UL (d), (L)
AZ1D	via	LU1DX	DL/HB9CYX/p	via	HB9CYX (B), (e)
BP0A	via	BV2KS	DL/ON6ZQ/p	via	ON6ZQ (L), (e)
BW/DJ4JB	via	DJ4JB (B)	DL/OK1DOY/p	via	OK1DOY
BX0QSL	via	BM2JCC, (e)	DMØY	via	DL3BQA (B)
C37N	via	C37URA (B), (L)	DM20OTUS	via	DJ8NU (B)
C6ADX	via	W8GEX (L)	DM6ØUEA	via	DL3BUA (B, autom.)
C6AGU	via	HA7RY (L), (e)	DP0POL	via	DL5EBE (B)
C6AQ	via	EA5GL (B), (L), (e)	DP7D	via	DF1QR (d), (L), (e)
C6AYL	via	W8CAA (L)	DQ8FTDMC	via	DM2RM
C7A	via	UA3DX (B)	DR0W	via	DJ5MW
C91CCY	via	K3IRV (B)	DR1ØØRY	via	DF2SD (B), (L), (e)
CB3W	via	XQ4CW	DR3K	via	DG1YKW (B)
CB4A	via	CE4UFC	DR4A	via	DJ9KM (B), (L)
CN22JIM	via	RW6HS (d)	DR45HAAN	via	DO9MP (B), (O)
CN23NIL	via	RW6HS (d)	DU3/W6QT	via	W6QT (B), (L), (e)
CN23NOA	via	CN8NOA	DU7/N7ET	via	N7ET (B), (L)
CO7VI	via	IK2DUW (d) und (L)	DV8/KH7EA	via	SP3SUX (B)
CQ3J	via	CT3MD and (L)	DX8H		(d)
CQ9T	via	CT3KN	E2WRTC	via	E21EIC (B), (L)
CR2X	via	OH2BH (B)	E7/9A3DF	via	9A3DF
CR3SI	via	CT1DSV (B)	E7HQ	via	E70ARA, (L)
CR3Y	via	OM2FY	E77DX	via	E73Y (B), (L)
CR6K	via	CT1ILT (O), (d), (L)	EA3ATO	via	EA3RCI (B), (e)
CS2C	via	OK1RF	EA6/DK1XAM	via	DK1XAM (d)
CT9ABO	via	OM3GI (d), (L)	EA6/DM7DX	via	DM7DX (B)
CT9ABV	via	DL5AXX, (L)	EA8/IK0RWW	via	IK0RWW
CW5X	via	CX2ABC (d)	ED1R	via	EC1KR (B), (L), (e)
CX1ØØB	via	CX1AA (B), (L)	ED2C	via	EA2RCF (B)
CX3AT	via	EA5GL (B), (L), (e)	ED2FSF	via	EA2CYC (E-Mail)
CX5A	via	CX2ABC (B), (L), (e)	ED5HFD	via	EA5HFD (B)
D2TX	via	PA3CMC (L)	ED7O	via	EA7EU (d)
D44BM	via	IW2KVT (B)	EE44C	via	EC5WR (d), (L), (e)
D44PM	via	IZ4DPV and (L)	EF0F	via	EA4URE (B), (L)
D4L	via	IK2NCJ (B), (L)	EF1A	via	EA1X (B), (L)
			EF6T	via	EA3AIR

EG1FAG	via	EA1JAY (B)	GX1FCW	nur (e)
EG1FPL	via	EA1OK (EUROBURO)	GX3WIM	via G8MNY (L), (e)
EG225GVJ	via	(L), (e), (O)	GX5BBC	via G4HPE (B), (e)
EG2UNA	via	EA2CW (L), (e)	GX5DX	via EB7DX (d)
EG3HAM	via	EA7IXM (d)	GX6ZME/p	via G3ZME (B)
EG4FDA	via	EA4PN (nur (L))	H44MS	via DL2GAC (B), (L)
EG4RAM	via	EB4AVN (d), (e)	H44SHD	via HB9SHD (B), (e)
EG5NDO	via	EA5URV (B)	HA/DK7TM	via DK7TM (B)
EG75AM		nur (e)	HA36EUDXF	via HA5MA (B), (L)
EG7FFP	via	EA7FC	HA5SPORT	via HA-(B)
EG8BRIF	via	EA8BM ((e) only)	HBØ/DJ1AA/m	via DJ1AA (B), (e)
EG8JPC	via	EA8CPU	HBØ/DL2JRM	via DL2JRM (B)
EH1OSM	via	EA1UVR (B), (L), (e)	HBØ/HB9DQM	via HB9DQM (B), (L)
EH1RGC	via	EA1DST	HBØ/OE9HRV	via OE9HRV (B)
EH2EUS	via	EA2TP (B), (L), (e)	HBØ/PA3CNO	via PE1FLO
EH2JDZ	via	EA2URV (B)	HB175RAIL	via (L)
EI/ON6QR	via	ON6QR (B)	HB5ØSH	nur (L) & (e)
EI/SP8ECN	via	SP8ECN	HB75SG/p	via HB9KNY (B), (L)
EI1Y	via	EI5JQ (B), (L), (e)	HB9SPACE	via HB9ACA
EJ7EE	via	OZ2I (B)	HC5JHT	via (L)
EL2EF	via	N2OO, (L)	HD1HERO	nur (L)
ES5/LY1FW	via	LY1FW	HF0ROSA	via SP7X (L), (e)
ET3PG	via	F6BFH (B), (*)	HF1ØØL	via SP9KDR (B)
EV6Z	via	DL8KAC (d)	HF1922PS	via SP9KJU (B), (e)
F/DL3SDE	via	DL3SDE ((e))	HF1Z	via SP1EG (B), (L)
F/PA2S	via	PA2S (B), (L), (e)	HF2ØLVK	via SP4LVK (B), (e)
FG/F6HMQ	via	F6HMQ (B)	HF30STB	via SP9SCI (B)
FH/OK1M	via	OK1WMR	HF3ØPSP	via SP9PSJ (B)
FJ/SP9FIH	via	SP9FIH (B), (L)	HF77DIORA	via SP3PDO (B)
FJ/SP9FUJ	via	SP9FUJ (B), (L), (e)	HF800M	via SP9PKS (B)
FJ4WEB	via	K2LIO (d), (e)	HF9FIELD	via SN9PJ (nur (e))
FK8GX	via	F5MFV (d)	HF95PRK	via SP9KJU
FM5BH	via	W3HNK (d), (L)	HGØWFF	via HAØHW (B-(O)), (L)
FO/DJ6GI		(L), (e)	HG1Z	via HA1XY (B)
FO/F6BCW	via	F6BCW (B)	HG1222BA	via HA4KYB
FO/K6VVK	via	(L) & (e)	HG4I	via HA5LN
FP/KV1J	via	KV1J (B), (L)	HG5A	via HA5KDQ (B), (L), (e)
FR/OK1M	via	OK1WMR	HH18NOV	via N2OO (B)
FY5KE	via	FY1FL (d), (L)	HH2AA	via EB7DX (L), (d)
G3M	via	G4PEO (B)	HI8J	via RW6HS (d), (L)
G5XV	via	MØOXO ((O)), (L)	HI9/IK2KTE	via IK2KTE
G8T	via	GW4SHF (B)	HL77V	via 6KØMF (B)
G8X	via	G4FJK (d), (L)	HLØ9NWPF	via HL5BJU (B), (L), (e)
GBØNFL	via	MØLMK (nur (e))	HP1/EA5XV	via EA5XV (B)
GB13COL	via	GØVLF (d)	HR9/K6VHF	via K6VHF (B), (L), (e)
GB1CSR	via	MØOLT (B), (e)	HQ9X	via KQ1F (B), (L)
GB2HMM	via	GW4TTA (B)	HR5/F2JD	via F6AJA (B), (L)
GB5GYD	via	MØCQL ((e))	HS0ZJF	via ON4AFU
GB5TP	via	MM0DFV	HS0ZNR	via VK2FY (d), (L), (e)
GB6OUS	via	MØOXO (B-(O)), (L)	HS0ZOA	via EB7DX (d), (e)
GD2NV	via	G2NV (nur (e))	HS7AP/p	via E21IZC
GJ2A	via	MJ0ASP (d), (L)	HVØA	via IKØFVC (d), (L)
GM2T	via	(B)	HZ1CY	via A61BK (d), (L)
GM4Z	via	GM4ZUK (B), (L)	HZ1CPCF	via HZ1SAR
GM6DX	via	MØOXO (B-(O)), (L)	HZ1UAE	via HZ1SAR (d)
GQ4ATA	via	GM4ATA nur (L)	HZ92ND	via HZ1SAR (d)
GS5DX	via	EB7DX and (d), (L)	I/HB9BIN/p	via HB9BIN (B), (L)
GS8VL	via	MØOXO ((O)), (L)	IBØV	via IU3EDK (B)
GUØVJG/p	via	GØVJG (B)	IB9T	via IT9TQH and (L)

IC8/IK6CAC	via	IK6CAC (L), (e)	LB5SH/p	via	LB5SH (B), (L)
IC8/KL1A	via	OE1ZZZ (d)	LC1R	via	LB5SH (B), (L)
ID9Y	via	IK8YFU (d), (L), (e)	LC5C	via	LA6KOA (B)
IF9A	via	IT9ATF (B), (L)	LV1E	via	LW6EQG (B), (L), (e)
IG9/IZ8FFA	via	IZ8FFA (d), (L)	LW2DO	via	EC6DX (d)
II1MM	via	IK1VHX (e)	LX/PA3FQX	via	PA3FQX
II2FTDM	via	IK2EKO	LY770CT	via	LY1CT and (L)
II5RM	via	IK5WOB (B)	LY786A	via	LY5A (B)
II7ML	via	IQ7ML ((e))	LZ/SQ2M	via	SQ2M
II9IALU	via	IT9MRM (d), (e)	LZ0KP	via	SV2CLJ (d), (L)
II9IAKE	via	HE9ERA (B)	LZ1Ø5IN	via	LZ1ZF (B)
II9IGDG	via	IT9DSA (d), (e)	LZ258ML	via	LZ1KCP (B), (L)
II9JOTA	via	IT9LIZ	LZ2K	via	LZ4AE
IK1TNU/IA5	via	IK1TNU	LZ25MIG	via	LZ1ZF (B)
IK2LEY/ISØ	via	IK2LEY	LZ31ZE	via	LZ1KCP (B), (L)
I6/OT1V	via	ON8VM (B), (L), (e)	LZ4A	via	LZ1YQ (d)
IL7/IK5AEQ	via	IK5AEQ (B), (L), (e)	LZ457PP	via	LZ1KCP (B), (L)
IL7/IZ5IUUY	via	IZ5IUUY (auch (e))	LZ540DS	via	LZ1KCP (B), (L)
IM0A	via	IS0BSR ((L) only)	LZ5G	via	LZ5ET (B)
IM0B		nur (L)	LZ6E	via	LZ1GU (B)
IN3/DL7CX/p	via	DL7CX (B), (L)	LZ6T	via	LZ2JA
IN3/HB9BXQ	via	HB9BXQ (B)	M/LY4L	via	LY4L (L)
IP1X	via	IU1JCZ (B)	M2J	via	G4NBS (nur (L))
IP6POPE	via	IZ6BRJ	M4T	via	M0BEW ((e) only)
IQØAK	via	ISØJXO (B), (e)	MD7C	via	MØOXO (B-(O)), (L)
IQ1SV	via	IZ1JIZ	MM1E	via	(L) (kein Bureau)
IQ3DD	via	IZ3NWT (Bureau)	MN5A	via	G3TXF (B), (L)
IR1DCI/5	via	IK1GPG (B), (L)	MS0ORK	via	MM5DWW (d)
IR1DCI/8	via	IK1GPG (B), (L)	MQ0PAM	via	MØPAM (d), (L), (e)
IR9K	via	(B), (L)	NØC	via	WØUY (d), (L)
ISØ/DJ2TG/p	via	DJ2TG (L), (e)	N1N	via	K6ZO (L)
J2ØEE	via	F4DXW (d), (L), (e)	NL8F	via	N7RO (d), (L)
J28HJ		(L)	OD5ZZ	via	N4GNR (d), (L)
J28JD	via	EA5GL (B), (L)	OE05FTDMC	via	OE1SGU (L), (e)
J28MD	via	IK2VUC (B)	OE25MFCA	via	OE6XMF (B)
J3/N9GB	via	N9GB	OE0FTDMC	via	OE6VIE (B-(O)), (L)
J43POTA	via	SV3SPD (L), (e)	OE0HQ	via	OE3KAB (L)
J5GQA	via	CT2GQA (B), (e)	OE25TU	via	OE-Bureau
JD1AJD	via	JA1ADT (B), (L)	OE3DIA	via	OE1DIA (d), (e)
JW/KA1IS	via	KA1IS (B)	OE5D	via	OE2UKL (B), (e)
JWØA	via	K4NHW (B), (L)	OE6ØSTMK	via	OE6WIG (B)
JW7QIA	via	LA7QIA (B), (L)	OE7ØFI	via	OE5FSL (B)
JW7XK	via	LA7XK (B), (L), (e)	OH0CO	via	SM6CCO (d), (L)
JX/LB4MI	via	LB4MI (B), (L), (e)	OJ0DX	via	DL3DXX (B-(O)), (L)
K4C/75	via	N4JR (B)	OJ0JR	via	OH3JR (B), (L)
K4WK/VE3	via	K4WK	OJ0MR	via	OG2M (d)
KH6/ND0B	via	ND0B (d), (L)	OK/SQ9MDF/p	via	SQ9MDF (B)
KH6ND/W7	via	KH6ND (L)	OK5D	via	OK1DTP (B), (L)
K8H	via	W7YAQ (L)	OK5M	via	OK5MM (B)
KL7J	via	N3SL (B), (L)	OK5Z	via	OK2ZI, (L)
KP2/KB5RF	via	KB5RF (nur (L))	OK8CX/p	via	DL7CX (B), (L)
KP2B	via	EB7DX (d), (L)	OK8MA/p	via	SP9MA (B)
KP4/E77DX	via	E73Y (B), (L)	OL1T	via	OK6DJ (B), (L), (e)
L2ØD	via	LU3DXG (L), (e)	OL15SOTA	via	OK1CYC (B), (L)
L50DY	via	LU8DY (L), (e)	OL3Y	via	OK1CRM (B), (L)
L60CBA	via	LU5CBA	OL5GMA/p	via	OK3EQ (B), (e)
LA/PE1ITR	via	PE1ITR (B), (L)	OMØR	via	OM3GI (d), (L)
LA/SP7VC	via	SP7VC (d), (e)	ON37IOF	via	ON7QC (B)
LA/ON4ROB/P	via	ON4ROB	OO22FLY	via	nur ON-Bureau

OO36EUDXF	via	ON6CC (B), (L)	PT5C	via	PY5HC (B), (L), (e)
OO7Z/p	via	ON6KZ (B), (e)	PT5J	via	PP5JR und (L)
OP4K	via	ON4JZ and (L)	PT6B	via	PY6HD (d), (L)
OP9T	via	ON5CT, (L)	PV2ØØBR	via	PY2KP (B), (L), (e)
OQ4U	via	ON4AMX (B), (L)	PV2K	via	EA5GL (B), (L)
OR1Ø5ØHERZ	via	ON-Bureau	PW2IND	via	PP5AA (B), (e)
OR1Z/p	via	ON6IX (d), (e)	PX2A	via	PY2VM (d), (L)
OR7ØFI	via	OR4K (B)	R1941MB	via	R2DX (B), (L), (e)
OR7G/p	via	ON7VG (auch (e))	R2022DX	via	RQ7L
OR78CLM	via	ON6HC (B)	R245GC	via	RW1QN (B), (L), (e)
OR8W	via	ON4BDV	R50RCR	via	RV3VR
OS5Z	via	ON5CAZ (B)	R8ØURAN	via	UA4AJD (B)
OT4N	via	ON4CN (B), (e)	R7ØØSSR	via	RØSI
OT5IDPD	via	ON6WL (B), (L)	RI41POL	via	RN3RQ (B)
OT5Q	via	ON4KNP (B), (L)	S21SM	via	OH6EAC (d) und (L)
OU5K	via	OZ1BEF (d)	S50HQ	via	S54G (B), (L)
OV2T	via	PAØABM (B), (L)	S79/RM8A	via	RM8A (direct)
OV3T	via	OZ4XL (nur (L))	SB6A	via	SA6AOA (nur (L))
OV5W	via	OZ1GIN	SF6F	via	SA6FOL (nur (L))
OX7AM	via	OZ1ACB ((O)), (L)	SI3A	via	SM3LIV (B), (L), (e)
OY7EE	via	OZ2I (B)	SK75BL	via	SK1BL (B, automatisch)
OZ50DDXG	via	OZ1ACB (O), (L)	SM/OH2NOS/p	via	OH2NOS
OZ5W	via	OZ7QC, (L)	SM2M	via	SM2LIY (B), (L), (e)
P29LL	via	EA7FTR (d)	SN15ØBRAIL	via	SP2PBY (B)
P29RO	via	DL4SVA (B), (L)	SN2ØØO	via	SP2PGD (B, automatisch)
P3X	via	UT5UDX (L), (e)	SN2ØØW	via	SP2PGD (B, automatisch)
P4ØL	via	WA3FRP (B), (L)	SN500GM	via	SP5PMU (B)
P44W	via	N2MM (d), (L)	SN5N	via	SP5KP (d), (L)
PA1VS	via	DE7VSH (B), (L), (e)	SN6J	via	SP6FHU (B)
PA22VUELTA	via	PI4UTR	SN89LOT	via	SP1PMY (B)
PA6ØCUBA	via	PA1FZH	SN8K	via	SQ8ERS (B), (L)
PA6ØEHSB	via	PA5ABW (B)	SN95PRK	via	SQ9FMU (B)
PA6ØNN	via	PC4C (B), (L)	SOØKBW	via	SP3PDO (B)
PA75DXCC	via	PA0ABM (O), (L)	SO95PRK	via	SP9WZO
PA9ØØUTR	via	PI4UTR	SP77DIORA	via	SP6PZB (B)
PC2ØSAIL	via	PAØRDY (B)	SP9FIH/VP9	via	SP9FIH (d)
PD36EUDXF	via	PA1AW (B), (L)	SP95PRK	via	SP9PNB (B)
PE36EUDXF	via	PA1AW (B), (L)	SQ75ZOT	via	SP1EG
PF01MAX	via	PC2F and (L)	SQ95PRK		(B)
PF36EUDXF	via	PA1AW (B), (L)	ST2SA	via	F6BFH (B), (*)
PF44F	via	(L) (kein Papier)	SU8X	via	OH2BH (B)
PF6SKCC	via	PG4I	SV9/OK6DJ	via	OK6DJ (L), (e)
PF6ØPENM	via	PF9W (B), (L)	SX1ØØMRH	via	SZ2RWM (d), (e)
PGØØT	via	PA2TMS (B), (e)	SX14ASTRO	via	SZ1A (B), (L), (e)
PG6PEACE	via	PG5FRL, (L)	SX2IMA	via	SV2JAO (d), (e)
PI4COM	via	PA1AW and (L)	SX22HAF	via	SV1AHH (nur L & (e) nur (L), (e))
PI4NTC	via	PG4I	SX338M		
PI4RCA/p	via	PA4T (B)	SX39J	via	SV2GWY (d), (L), (e)
PI75ØGAZ	via	PA-(B)	SX44JM	via	SV1AHH (L), (e)
PJ2/DK5ON	via	DK5ON (d), (B), (L), (C)	SX8AEG	via	SV8MQP (B), (e)
PJ2/K5PI	via	K5PI	SZ1KVDD	via	SV1ENG (B), (L)
PJ2/VE3CX	via	VE3CX, (L)	T88PB	via	JAØJHQ (d), (L)
PJ2/VE3JM	via	VE3JM	T88RC	via	JH1FFW (B), (L), (e)
PJ2/W9NJY	via	WD9DZV, (L)	TA3J/0	via	TA3J (B), (L)
PJ4/K4BAI	via	K4BAI	TA4/OH2KW	via	OH2KW (B), (L)
PJ7/G4JEC	via	NØUK (B), (L)	TA4/SQ9UM	via	SQ9UM (d), (L), (e)
PP2/DL3SEZ	via	DL3SEZ (B)	TC29EKM	via	(e)
PQ3G	via	PY3OZ			
PR1T	via	PY1ZV (nur (L))			

TC7G	via	YM7KK (d), (L)	UE32DX	via	RQ7L
TG9ADM	via	EA5GL (B), (L)	V26K	via	AA3B (B), (L), (e)
T11FIFA	via	(d), (L)	V26OC	via	N3OC (d), (L)
TI2VLM	via	EA5ZD (d), (L)	V31XX	via	K4XS (d)
TI5/N3KS	via	M0URX (O) und (L)	V4/NT5V	via	NT5V (B), (L)
TI7/HB9BHU	via	HB9BHU	V47FWX	via	MØURX (B-(O)), (L)
TK/S53WW	via	S53WW, (L)	V48A	via	WX4G (B), (L), (e)
TK/S57L	via	S57L, (L)	V48DM	via	N4GNR (B), (L)
TK/S57VW	via	S57VW	V5/HB9BFM	via	HB9BFM (B), (L)
TK0C	via	S50C (d), (B), (L), (e)	V5/ZS1WO	via	DH3WO (B)
TMØW	via	F2CT (L), (e)	V51LZ	via	EA5GL (B), (L), (e)
TM1MLB	via	F4KMI (B), ((e))	V73MS	via	WV7MS (d), (L)
TM1SOTA	via	nur (e)	V85/F5NPV	via	F5NPV (L), (e)
TM1ØKIY	via	F4KIY (B), (L), (e)	V85NPV	via	nur (e) & (L)
TM109TDF	via	F8GGZ	VB4LIGMA	via	A4BEN
TM1ØØBBC	via	F8GGZ (B)	VE2PEACE	via	VE2JCW (d)
TM1ØØCARD	via	F5PTI (B), (L), (e)	VE3KTB/VY0	via	M0OXO (B-(O)), (L)
TM100UNOR	via	F8KHG (B)	VG5DX	via	VA5DX (d)
TM1Ø5BDC	via	F8KGN (B)	VJ2J	via	VK2CZ (d)
TM11SRY	via	F5KCC	VJ3A	via	VK3JA and (L)
TM13COL	via	F5OGL (L)	VJ4K	via	N3SL (B), (L), (e)
TM17FFF	via	F4GFE	VJ4T	via	VK4QH (L), (e)
TM17MGF	via	F5KLJ (B)	VL2B	via	VK2BJ ((L) only)
TM1SSOU	via	F6KGL	VL2G	via	VK2GR ((L) only)
TM2ØØLP	via	F8GGZ (B)	VL2N	via	VK2PN ((L))
TM22CAD	via	F1LPT ((e) only)	VL3E	via	VK3TZ and (L)
TM2ALMA	via	F5PTA (d), (e)	VL6C	via	VK6IR (O) und (L)
TM2D	via	F5KHP (e)	VP2ETE	via	W3Hnk, (L)
TM2LD	via	F4GQP (B)	VP2MJA	via	VE3WB
TM35FIST	via	F6JOE (B)	VP8TAA/p	via	MØOXO (B- (O)), (L)
TM36EUDX	via	PA1AW (B), (L)	VP9/N8QNT	via	N8QNT (B)
TM3GGR	via	F6KUF (B); F5OEV (d)	VP9/SP9FIH	via	SP9FIH
TM3Z	via	F4DSK (B)	VKØWN	via	VK7WN (B), (L)
TM400MO	via	F4DTO (B)	VK36EUDXF	via	VK2WN, (L), (e)
TM5ØARML	via	F4ILK (B), (e)	VK5X	via	VK5DX ((L))
TM50SC	via	F6PCT	VK6T	via	EA7FTR (d), (L)
TM55TDL	via	F4IVC (d), (e)	VK75FAA	via	VK2YVA (B)
TM5TD	via	F6KMB	VK8NSB	via	M0URX (O) und (L)
TM55SNSM	via	F4GPB (B), (e)	VK9C	via	EB7DX (d), (L), (e)
TM59TDF	via	F8KGS	VK9CM	via	EB7DX (d), (L), (e)
TM62YT	via	F4GYG (e)	VK9XX	via	EB7DX (d), (L)
TM65M	via	F5RAB	VK90ABC	via	VK1RAS (L), (e) only
TM72LMC	via	F1IEH (L)	VX2I	via	F5JYD (B), (d), (L)
TM72WOW	via	F1IEH (d)	VR25RC	via	VR2RC
TM74CHX	via	F4IRT (B), (L), (e)	VR25XMT	via	VR2XMT (d), (L)
TM78DP	via	F4GPB (B), (e)	VP2ETE	via	W3Hnk (d), (L)
TM8AB	via	F4KJQ	VP2MJA	via	VE3WB (L), (e)
TM8GE	via	F6KFI (B)	VP5Y	via	VE3RZ
TM8R	via	F5BNJ (B), (L)	VP8TAA	via	M0OXO (O), (L)
TM90GF	via	F4KLR (B), (e)	WØ /VK3BDL	via	VK3BDL
TM100UNOR	via	REF-Bureau	W1N	via	K6ZO (L)
TO2DL	via	DL7DF ((O)), (L)	W2/JR1AQN	via	JR1AQN (B), (L), (e)
TO5A	via	F5VHJ (B), (L)	W2C	via	N2MC (d)
TO9W	via	W9ILY (O), (L)	W2I	via	W2TMR (d), (L), (e)
TT8SN	via	F8FQX	W3R	via	NY9H
TX7G	via	F6BCW (B,automatisch)	W4G	via	K4DSO (d), (L)
TY0RU	via	R7AL ((O)), (L)	W4T	via	W4ABP (d)
TY5AF	via	(B - (O)), (L)	W8W	via	W8KVK (d), (e)
TZ4AM	via	W0SA (B), (L)	XE1HG	via	EA5GL (d), (L)

XF1S	via	IT9EJW (B)
XIØX	via	XE1KK (nur (L))
XM3A	via	VE3NOO (B), (e)
XT2AW	via	M0OXO (O) und (L)
XV9BPO	via	EA5GL und (L)
XV9SB	via	WB4SAB (d)
XV9K	via	DJ6TF (B), (L)
XW4KV	via	F4BKV (B), (L)
XZ2B	via	JH3SIF (B), (L)
YB0AR	via	EB7DX (d) und (L)
YBØECT	via	W2FB (d), (L)
YB8QT	via	IK2DUW (d), (L)
YH0R		(B), (L), (e)
YJØAUS	via	F6BFH (B), (*)
YJØCA	via	VK2YUS (d)
YJØDA	via	VK4MAP (d)
YK1AA	via	F6BFH (B), (*)
YO3IMD	via	YO3KPA (B), (L)
YR2X	via	YO2LEA (B), (e)
YS1RR	via	F6BFH (B), (*)
YR6MUSEUM	via	YO6KNE (B), (L)
YU/OK1ARI/p	via	OK1ARI (auch (e))
Z21LS	via	DE1ZHB (B), 7Z1HB (d)
Z66BCC	via	DL2JRM (B)
Z68EE	via	OZ2I (B), (L)
Z66X	via	OH2BH (B), (L)
Z68XX	via	DL2JRM (B)
ZA/OE6TQG	via	OE6TQG and (e)
ZA/OE8NDR	via	DE1QSL
ZA/SQ9MDF/p	via	SQ9MDF (B)
ZF1A	via	K7ZO ((O)), (L), (d), (B)
ZF2AA	via	VE3IKV (d)
ZF2OO	via	WB2REM (d), (L)
ZF2PG	via	K8PGJ (d), (L)
ZF2MJ	via	N6MJ and (L)
ZL1X	via	ZL1BVA (e)
ZL4/VE6TC	via	VE6TC (L), (e)
ZL7/K5WE	via	K5WE (d), (L)
ZL7/ZL1VV		(L)
ZV2X	via	PY2YVN
ZV8C	via	PQ8SL (d), (L)
ZW2ØØESQ	via	PY1JR (B)
ZW7I	via	PY7WM (B), (L)
ZX8F	via	PS8RV (B), (L)
ZY0FUN	via	PY2RN ((O)), (L)
ZZ1S	via	PY1IO (d), (LO)
ZZ2OO	via	(B), (L)

(d) = direkt (B) = Büro ok
(L) = (L) (O) = (O)
(C) = ClubLog (e) = (e)
(*) = neuer Manager (Q) = QRZ.COM
H/c = Homecall

*** Aufgrund der anhaltenden und sich ständig ändernden Situation von COVID-19 auf der ganzen Welt, können die angekündigten Aktivitäten ohne vorherige Ankündigung verkürzt, verschoben oder **sogar abgesagt werden.** ***

Abkürzungen:

ARLHS	Amateur Radio Lighthouse Society
DCI	D.C.I. (Diploma Castelli Italia) http://www.dcia.it/dci/
DCPC	D.C.P.C. (Diploma Castelli Provincia Cuneo)
DFCF	Diplome des Forts et Chateaux de France
DIFM	Diplôme des Iles de la France Métropolitaine
H/c	Homecall
ILLW	International Lighthouse Lightship Weekend
IOCA	Islands Of Croatia Award
IOTA	Islands on the Air
(L)	Logbook of the World
(O)	Online QSL Request System
POTA	Parks On The Air
RDA	Russian District's Award Program
RLHA	Russian Lighthouse Award
SNSM	Société Nationale des Sauveteurs en Mer
URE	Unión de Radioaficionados Españoles
WCA	World Castles Award
WLOTA	World Lighthouse On The Air Award
WRTC	World Radiosport Team Championship
WWFF	World Wide Flora & Fauna
YOTA	Youth On The Air

Wir bedanken uns für die Mitarbeit an dieser Ausgabe bei: I1JQJ/IK1ADH & 425 DX News, DX World, DXNews.com, VA3RJ, KB8NW & OPDX-Bulletin, DF6EX (für WIN-QSL), DL1BAH, DL1SBF, DL3FF, DL7MAE, EA3HKY, UA1OBA, F6AJA & Les Nouvelles DX, Islands On The Air, NG3K & ADXO, OE2IKN, OM3JW & IDXP, OZ6OM & 50 MHz DX News, W3UR & The Daily DX ...u.a.

Kostenloses Abo DXMB / DXNL:

DXMB Abonnement / DXNL Subscription

<https://www.darcdxhf.de/dxmb/>

PDF-Version in Deutsch (farbig, mit Bildern):

<https://www.darc.de/der-club/referate/dx/dxmb/>

TXT-Version deutsch (nur Text, ohne Bilder):

<https://www.darc.de/der-club/referate/dx/dxmb/>

TXT-Version englisch (nur Text, ohne Bilder):

<https://www.darc.de/der-club/referate/dx/en/dxn/>

Archiv:

<https://www.darc.de/der-club/referate/dx/dxmb/>

DXMB-Homepage:

<https://www.darc.de/der-club/referate/dx/dxmb/>